



AB 1571



SOLDI Sp. z o.o.  
ul. Bieżanowska 22  
30-812 Kraków

# Sprawozdanie nr 564/2023/OS/10

Sprawozdanie z badania natężenia pól elektromagnetycznych  
wykonanych w środowisku

Miejsce wykonania badania:

(dane uzyskane od klienta)

**TYC0035\_D**

43-100 Tychy, Harcerska 3-5-7,  
pow. Tychy, woj. śląskie

Data zakończenia badania:

20.12.2023 r.

Klient:

P4 Sp. z o.o.  
ul. Wynalazek 1  
02-677 Warszawa

Autoryzacja / wydanie sprawozdania:



Leszek Duda  
Kierownik ds. Technicznych

Bez pisemnej zgody laboratorium, sprawozdanie nie może być powielane inaczej, jak tylko w całości.

## 1. Podstawa prawna

Badania wykonano zgodnie z obecnie występującymi aktami prawnymi:

- Ustawa z dnia 27 kwietnia 2001 r. Prawo ochrony środowiska (Dz. U. 2022 poz. 2556 z zm.),
- Rozporządzenie Ministra Zdrowia z dnia 17 grudnia 2019 r. w sprawie dopuszczalnych poziomów pól elektromagnetycznych w środowisku (Dz. U. 2019 poz. 2448),
- Rozporządzenie Ministra Klimatu z dnia 17 lutego 2020 r. w sprawie sposobów sprawdzania dotrzymania dopuszczalnych poziomów pól elektromagnetycznych w środowisku (Dz. U. 2022 poz. 2630).

## 2. Aparatura pomiarowa

Podczas badań użyto następującej aparatury pomiarowej:

Tabela nr 1

Miernik szerokopasmowy	Sondy	Zakres częstotliwościowy	Zakres pomiarowy*	Świadectwo wzorcowania
Narda NBM - 550 Nr B-0714	EF-0392 nr G-0072	0,1 – 3 600 MHz	0,8 – 1000 V/m	LWiMP/W/016/23; data wydania: 12.01.2023
Narda NBM - 550 Nr B-0714	EF-6091 nr 01096	80 – 90 000 MHz	0,8 – 300 V/m	LWiMP/W/016/23; data wydania: 12.01.2023

\*Do wyznaczenia poprawnej wartości natężenia pola elektromagnetycznego uwzględniono współczynniki korekcyjne z właściwego świadectwa wzorcowania.

Aparaturę pomiarową charakteryzują następujące wartości niepewności pomiaru obliczone i przedstawiona zgodnie z dokumentem PN-EN 50413. Podane wartości niepewności stanowią niepewności rozszerzone dla poziomu ufności 95% i współczynnika rozszerzenia  $k=2$ .

Procedury wdrożone w laboratorium pozwalają zapewnić odporność elektromagnetyczną miernika.

Niepewność pomiarowa wyznaczona dla zainstalowanych i skonfigurowanych obiektów – źródeł pól, jak w dniu pomiaru wynosi 35%.

Dodatkowa aparatura pomiarowa:

- Kompas (busola) [UP/30/Sw]
- Termohigrometr TFA nr 4433 [UP/31/Sw]  
(Świadectwo wzorcowania: 0197/AH/21; data wydania: 12.02.2021)
- Taśma miernicza geodezyjna 50 m [UP/33/Sw]  
(Świadectwo wzorcowania: U/21/51-512120028.3; data wydania: 10.03.2021)
- Odbiornik GPS REALME GT Neo 2 [UP/22/Sw]

### 3. Opis badania

Badanie przeprowadziło Laboratorium Badawcze Soldi na podstawie zlecenia firmy P4 Sp. z o.o.

Badanie wykonano zgodnie z:

Załącznikiem do rozporządzenia Ministra Klimatu z dnia 17 lutego 2020 r. *w sprawie sposobów sprawdzania dotrzymania dopuszczalnych poziomów pól elektromagnetycznych w środowisku* (Dz. U. 2022 poz. 2630).

Badania promieniowania elektromagnetycznego, którego źródłem są urządzenia wyszczególnione w punkcie 4 sprawozdania przeprowadzono w pionach pomiarowych na kierunkach zbliżonych do azymutów badanej instalacji, w szczególności w tych miejscach, w których na podstawie uprzednio przeprowadzonych obliczeń, stwierdzono występowanie w danych zakresach częstotliwości pól-EM o poziomach zbliżonych do poziomów dopuszczalnych oraz do odległości, dla której stwierdzono w miejscach dostępnych dla ludności występowanie pól elektromagnetycznych o najwyższym poziomie, które pochodzą z badanej instalacji. Badania pól elektromagnetycznych przeprowadzono w pionach pomiarowych wzdłuż głównych kierunków pomiarowych, dodatkowych pionach oraz w miejscach dostępnych dla ludności w otoczeniu instalacji. W przyjętych pionach pomiarowych pomiary wykonano na wysokościach od 0,3 m do 2,0 m nad powierzchnią terenu albo nad innymi miejscami dostępnymi dla ludności. W pobliżu urządzeń, obiektów i elementów metalowych pomiary wykonano w odległości nie mniejszej niż 0,3 m od tych urządzeń, obiektów i elementów metalowych.

Przy sprawdzeniu dotrzymania dopuszczalnych poziomów pól elektromagnetycznych w środowisku nie uwzględnia się poprawek pomiarowych ze względu, na fakt iż pomiary wykonywane są przy użyciu miernika szerokopasmowego.

## 4. Informacje przekazane przez klienta

Tabela nr 2 – Opis obiektu, w otoczeniu którego wykonano badania oraz określenie terenu wokół stacji

Tabela nr 2a – Szczegółowe dane źródła pól dla anten mikrofalowych

Tabela nr 2b – Szczegółowe dane źródła pól dla anten sektorowych

**Tabela nr 2**

Opis obiektu, w otoczeniu którego wykonano pomiary	
Rodzaj konstrukcji wsporczej:	Antenowe konstrukcje wsporcze balastowe
Wysokość masztu:	4,0 m n.p.t.
Rodzaj terenu wokół stacji bazowej:	Stacja bazowa zlokalizowana jest na terenie wiejskim, w najbliższym otoczeniu stacji znajduje się zabudowa mieszkaniowa i usługowa.
Wysokość budynku, na którym zainstalowane są anteny:	36,8 m n.p.t.

**Tabela nr 2a**

Charakterystyka promieniowania				kierunkowa					
Rzeczywisty czas pracy [h/dobę]				24					
Rodzaj wytwarzanego pola				stacjonarne					
Linia radiowa				Antena					
Lp.	Typ nadajnika	Częstotliwość pracy [GHz]	Moc wyjściowa [dBm]	Typ / producent	Średnica anteny [m]	Azymut [°]	Wysokość zainstal. [m]	LON	LAT
1	OPTIX RTN/HUAWEI	80	19	0.3-80 (VHLP1-80)	0,3	93	38,5	18°58'32.60"E	50°07'12.24"N

Tabela nr 2b

Charakterystyka promieniowania				kierunkowa					
Rzeczywisty czas pracy [h/dobę]				Całodobowa 24h					
Warunki pracy				Znamionowe					
Rodzaj wytwarzanego pola				stacjonarne					
Lp.	Typ nadajnika	Antena Producent / Typ	Azymut [°]	Wysokość środka elektr. anteny [m n.p.t.]	Pasma [Mhz]	Kąt nachylenia [°]	EIRP dla anteny [W]	LON	LAT
1	DBS3xxx/5xxx	Huawei ADU4518R8	0	38,5	800	0 - 10	11436	18°58'31.96"E	50°07'12.32"N
	DBS3xxx/5xxx				1800	2 - 12		18°58'31.96"E	50°07'12.32"N
	DBS3xxx/5xxx				2100	2 - 12		18°58'31.96"E	50°07'12.32"N
2	DBS3xxx/5xxx	Huawei ADU4518R8	0	38,5	900	0 - 10	10981	18°58'31.96"E	50°07'12.32"N
	DBS3xxx/5xxx				1800	2 - 12		18°58'31.96"E	50°07'12.32"N
	DBS3xxx/5xxx				2100	2 - 12		18°58'31.96"E	50°07'12.32"N
3	DBS3xxx/5xxx	Huawei ADU4518R6	0	39	2600	0 - 12	9662	18°58'31.96"E	50°07'12.32"N
4	DBS3xxx/5xxx	Huawei ADU4518R8	110	38,5	800	0 - 10	11436	18°58'32.60"E	50°07'12.24"N
	DBS3xxx/5xxx				1800	2 - 12		18°58'32.60"E	50°07'12.24"N
	DBS3xxx/5xxx				2100	2 - 12		18°58'32.60"E	50°07'12.24"N
5	DBS3xxx/5xxx	Huawei ADU4518R8	110	38,5	900	0 - 10	10981	18°58'32.60"E	50°07'12.24"N
	DBS3xxx/5xxx				1800	2 - 12		18°58'32.60"E	50°07'12.24"N
	DBS3xxx/5xxx				2100	2 - 12		18°58'32.60"E	50°07'12.24"N
6	DBS3xxx/5xxx	Huawei ADU4518R6	110	39	2600	0 - 12	9662	18°58'32.60"E	50°07'12.24"N
7	DBS3xxx/5xxx	Huawei ADU4518R8	245	38,5	800	0 - 10	11436	18°58'31.70"E	50°07'10.70"N
	DBS3xxx/5xxx				1800	2 - 12		18°58'31.70"E	50°07'10.70"N
	DBS3xxx/5xxx				2100	2 - 12		18°58'31.70"E	50°07'10.70"N
8	DBS3xxx/5xxx	Huawei ADU4518R8	245	38,5	900	0 - 10	10981	18°58'31.70"E	50°07'10.70"N
	DBS3xxx/5xxx				1800	2 - 12		18°58'31.70"E	50°07'10.70"N
	DBS3xxx/5xxx				2100	2 - 12		18°58'31.70"E	50°07'10.70"N
9	DBS3xxx/5xxx	Huawei ADU4518R6	245	39	2600	0 - 12	9662	18°58'31.70"E	50°07'10.70"N

W załączonej tabeli podano maksymalne parametry pracy tej instalacji deklarowane przez prowadzącego instalację. Podczas pomiarów urządzenia użytkownika pracowały przy aktualnie występującym obciążeniu. Anteny o sterowanych wiązkach zostały ustawione w sposób umożliwiający spełnienie wymagań pkt 13 ppkt 2 RMK.

Jako dopuszczalne poziomy gęstości pola elektromagnetycznego przyjmuje się wartość 2 W/m<sup>2</sup>, co odpowiada natężeniu składowej elektrycznej pola elektromagnetycznego o wartości 28 V/m – tj. minimalnej wartości dopuszczalnej dla zakresu częstotliwości od 10 MHz do 300 GHz, dzięki czemu zostaje uwzględniona obecność innych instalacji emitujących pole – EM w sąsiedztwie.

## 5. Wyniki badań i szkic sytuacyjny

Tabela nr 3

Data wykonania pomiarów	Godzina		Opady	Temperatura [°C]		Wilgotność [%]	
	Rozpoczęcia pomiarów	Zakończenia pomiarów		Minimalna	Maksymalna	Minimalna	Maksymalna
14.12.2023	8:30	10:10	Brak	3,8	4,3	60	62

Temperatura i wilgotność względna nie wyższa niż dopuszczalna specyfikacja miernika.

Tabela nr 4

Nr pionu / punktu	Lokalizacja pionu / punktu pomiarowego			Wysokość pomiaru [m]	Wartość zmierzona [V/m]	Wynik badania pola-E <sup>1)</sup> [V/m]	Wskaźnik poziomu emisji WM <sub>E</sub>	Wartość wyznaczona pola-H [A/m]	Wskaźnik poziomu emisji WM <sub>H</sub>
	LAT	LON	Opis						
1	2	3	4	5	6	7	8	9	10
1	50.12030	18.97556	GKP; poziom terenu wokół stacji bazowej	2,0	1,3	1,8	0,06	0,005	0,06
2	50.12039	18.97556	GKP; poziom terenu wokół stacji bazowej	2,0	1,5	2,0	0,07	0,005	0,07
3	50.12086	18.97556	GKP; poziom terenu wokół stacji bazowej	2,0	1,4	1,9	0,07	0,005	0,07
4	50.12133	18.97556	GKP; poziom terenu wokół stacji bazowej	2,0	1,6	2,2	0,08	0,006	0,08
5	50.12241	18.97556	GKP; poziom terenu wokół stacji bazowej - 259m od obiektu, na az.0°	2,0	1,0	1,4	0,05	0,004	0,05
6	50.12019	18.97597	GKP; poziom terenu wokół stacji bazowej	2,0	1,1	1,5	0,05	0,004	0,05
7	50.12025	18.97608	GKP; poziom terenu wokół stacji bazowej	2,0	1,3	1,8	0,06	0,005	0,06
8	50.12053	18.97669	GKP; poziom terenu wokół stacji bazowej	2,0	1,1	1,5	0,05	0,004	0,05
9	50.12004	18.97615	GKP; poziom terenu wokół stacji bazowej	2,0	1,2	1,6	0,06	0,004	0,06
10	50.12002	18.97663	GKP; poziom terenu wokół stacji bazowej	2,0	1,4	1,9	0,07	0,005	0,07
11	50.12001	18.97714	GKP; poziom terenu wokół stacji bazowej	2,0	1,2	1,6	0,06	0,004	0,06
12	50.12000	18.97603	GKP; poziom terenu wokół stacji bazowej	2,0	1,1	1,5	0,05	0,004	0,05
13	50.11997	18.97617	GKP; poziom terenu wokół stacji bazowej	2,0	1,3	1,8	0,06	0,005	0,06
14	50.11980	18.97692	GKP; poziom terenu wokół stacji bazowej	2,0	1,2	1,6	0,06	0,004	0,06
15	50.11964	18.97753	GKP; poziom terenu wokół stacji bazowej	2,0	1,1	1,5	0,05	0,004	0,05
16	50.11927	18.97911	GKP; poziom terenu wokół stacji bazowej - 259m od obiektu, na az.110°	2,0	0,8	1,1	0,04	0,003	0,04
17	50.11989	18.97592	GKP; poziom terenu wokół stacji bazowej	2,0	1,1	1,5	0,05	0,004	0,05
18	50.11983	18.97603	GKP; poziom terenu wokół stacji bazowej	2,0	1,2	1,6	0,06	0,004	0,06
19	50.11947	18.97650	GKP; poziom terenu wokół stacji bazowej	2,0	1,0	1,4	0,05	0,004	0,05
20	50.11947	18.97569	GKP; poziom terenu wokół stacji bazowej	2,0	0,8	1,1	0,04	0,003	0,04
21	50.11944	18.97533	GKP; poziom terenu wokół stacji bazowej	2,0	1,0	1,4	0,05	0,004	0,05
22	50.11936	18.97528	GKP; poziom terenu wokół stacji bazowej	2,0	0,8	1,1	0,04	0,003	0,04

<sup>1)</sup> Za wynik badania przyjmuje się wartość wyznaczoną jako maksymalny chwilowy wynik pomiarów powiększony o rozszerzoną niepewność pomiaru U dla współczynnika rozszerzenia k=2.

Objaśnienia:

GKP – Główny Kierunek Pomiarowy

Tabela nr 4 cd.

Nr pionu / punktu	Lokalizacja pionu / punktu pomiarowego			Wysokość pomiaru	Wartość zmierzona	Wynik badania pola-E <sup>1)</sup>	Wskaźnik poziomu emisji WM <sub>E</sub>	Wartość wyznaczona pola-H	Wskaźnik poziomu emisji WM <sub>H</sub>
	LAT	LON	Opis						
1	2	3	4	5	6	7	8	9	10
23	50.11892	18.97503	GKP; poziom terenu wokół stacji bazowej	2,0	1,0	1,4	0,05	0,004	0,05
24	50.11955	18.97514	GKP; poziom terenu wokół stacji bazowej	2,0	1,0	1,4	0,05	0,004	0,05
25	50.11950	18.97503	GKP; poziom terenu wokół stacji bazowej	2,0	1,1	1,5	0,05	0,004	0,05
26	50.11935	18.97447	GKP; poziom terenu wokół stacji bazowej	2,0	1,3	1,8	0,06	0,005	0,06
27	50.11911	18.97367	GKP; poziom terenu wokół stacji bazowej	2,0	1,2	1,6	0,06	0,004	0,06
28	50.11866	18.97217	GKP; poziom terenu wokół stacji bazowej - 259m od obiektu, na az.245°	2,0	0,9	1,2	0,04	0,003	0,04
29	50.12008	18.97519	GKP; poziom terenu wokół stacji bazowej	2,0	1,1	1,5	0,05	0,004	0,05
30	50.12008	18.97506	GKP; poziom terenu wokół stacji bazowej	2,0	1,0	1,4	0,05	0,004	0,05
31	50.12008	18.97409	GKP; poziom terenu wokół stacji bazowej	2,0	1,1	1,5	0,05	0,004	0,05
32	50.12025	18.97536	GKP; poziom terenu wokół stacji bazowej	2,0	1,2	1,6	0,06	0,004	0,06
33	50.12033	18.97528	GKP; poziom terenu wokół stacji bazowej	2,0	1,3	1,8	0,06	0,005	0,06
A	-	-	DPP; światło okna balkonowego budynku przy ul. Rodzeństwa Krzyżowskich 74 (p.2 / m.22)	2,0	1,4	1,9	0,07	0,005	0,07
B	-	-	DPP; światło okna balkonowego budynku przy ul. Rodzeństwa Krzyżowskich 72 (p.3 / m.13)	2,0	1,6	2,2	0,08	0,006	0,08
C	-	-	DPP; światło okna balkonowego budynku przy ul. Rodzeństwa Krzyżowskich 72 (p.3 / m.16)	2,0	1,9	2,6	0,09	0,007	0,09
D	50.12021	18.97569	DPP; światło okna budynku przy ul. Harcerska 9 (parter)	2,0	1,2	1,6	0,06	0,004	0,06
E	-	-	DPP; światło okna klatki schodowej budynku przy ul. Honoraty 14 (p.3)	2,0	1,1	1,5	0,05	0,004	0,05
F	-	-	DPP; światło okna klatki schodowej budynku przy ul. Honoraty 14 (p.4)	2,0	1,4	1,9	0,07	0,005	0,07
G	-	-	DPP; światło okna klatki schodowej budynku przy ul. Honoraty 20 (p.3)	2,0	1,4	1,9	0,07	0,005	0,07
H	-	-	DPP; światło okna klatki schodowej budynku przy ul. Honoraty 20 (p.4)	2,0	1,6	2,2	0,08	0,006	0,08
I	-	-	DPP; światło okna klatki schodowej budynku przy ul. Żwakowska 28 (p.6)	2,0	1,6	2,2	0,08	0,006	0,08
J	-	-	DPP; światło okna klatki schodowej budynku przy ul. Żwakowska 28 (p.8)	2,0	1,9	2,6	0,09	0,007	0,09

<sup>1)</sup> Za wynik badania przyjmuje się wartość wyznaczoną jako maksymalny chwilowy wynik pomiarów powiększony o rozszerzoną niepewność pomiaru U dla współczynnika rozszerzenia k=2.

#### Objaśnienia:

GKP – Główny Kierunek Pomiarowy  
DPP – Dodatkowy Pion Pomiarowy

Tabela nr 4 cd.

Nr pionu / punktu	Lokalizacja pionu / punktu pomiarowego			Wysokość pomiaru [m]	Wartość zmierzona [V/m]	Wynik badania pola-E <sup>*)</sup> [V/m]	Wskaźnik poziomu emisji WM <sub>E</sub>	Wartość wyznaczona pola-H [A/m]	Wskaźnik poziomu emisji WM <sub>H</sub>
	LAT	LON	Opis						
1	2	3	4	5	6	7	8	9	10
K	-	-	DPP; światło okna klatki schodowej budynku przy ul. Żwakowska 28 (p.10)	2,0	2,1	2,8	0,10	0,008	0,10
L	-	-	DPP; światło okna budynku przy ul. Harcerska 10 (p.2 / m.57)	2,0	1,0	1,4	0,05	0,004	0,05
M	-	-	DPP; światło okna budynku przy ul. Harcerska 12 (p.3 / m.47)	2,0	1,2	1,6	0,06	0,004	0,06
N	-	-	DPP; światło okna budynku przy ul. Harcerska 12 (p.2 / m.46)	2,0	1,0	1,4	0,05	0,004	0,05

<sup>\*)</sup> Za wynik badania przyjmuje się wartość wyznaczoną jako maksymalny chwilowy wynik pomiarów powiększony o rozszerzoną niepewność pomiaru U dla współczynnika rozszerzenia k=2.

## Objaśnienia:

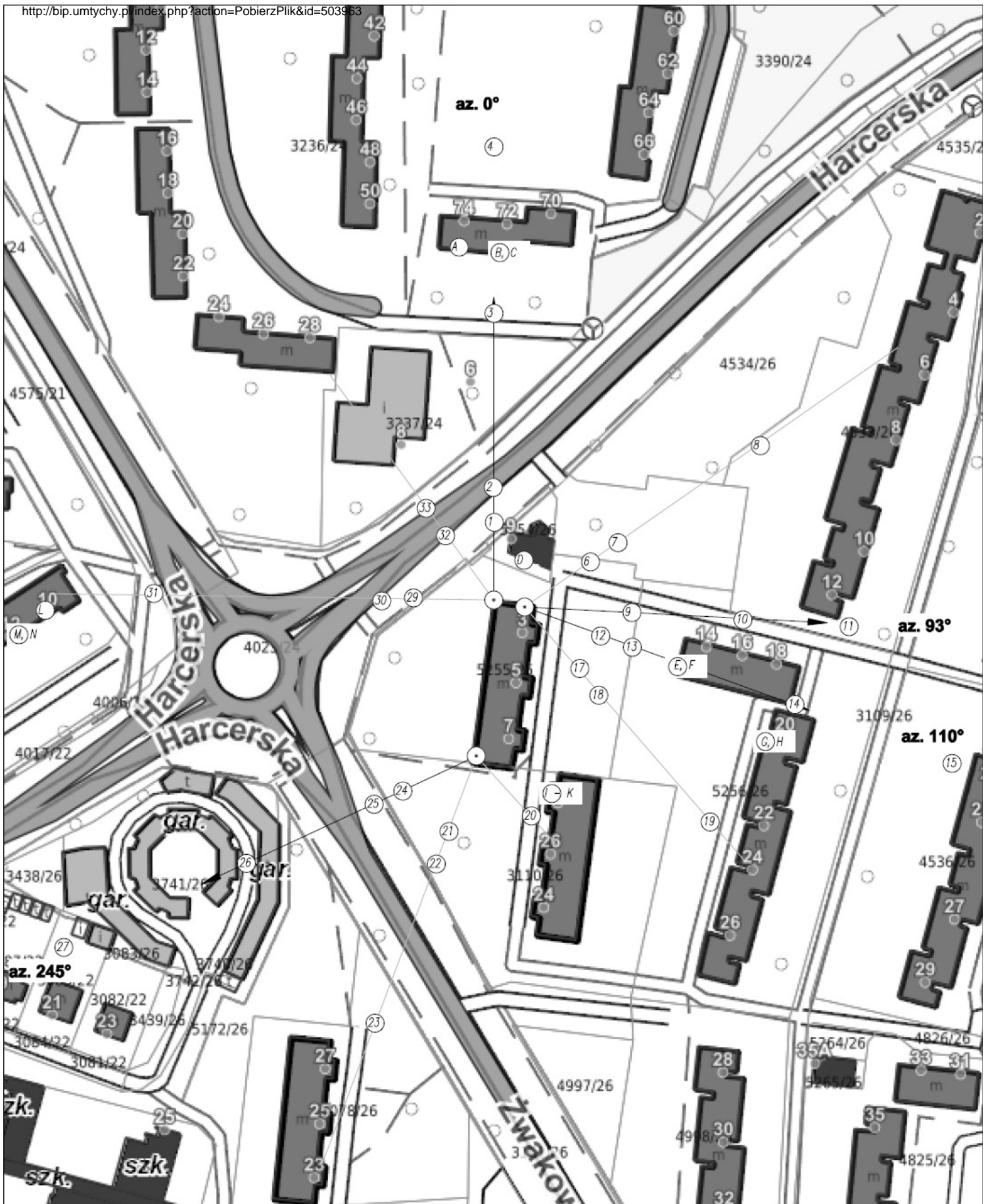
GKP – Główny Kierunek Pomiarowy  
DPP – Dodatkowy Pion Pomiarowy

Wyniki pomiarów odnoszą się wyłącznie do przedstawionych w sprawozdaniu punktów / pionów pomiarowych.

Dane podane przez klienta wpływają na ważność wyników.

W obszarze pomiarowym zainstalowane są urządzenia obcych operatorów, które zostały uwzględnione podczas wykonywania badań. Urządzenia te pracowały przy aktualnie występującym obciążeniu i mogą mieć wpływ na przedstawione wyniki badań.





UWAGA: Nie wszystkie punkty / piony pomiarowe zostały wskazane na powyższej mapie

LEGENDA:

- (Nr) – Punkty (piony) pomiarowe
- – Lokalizacja źródła pola-EM



Użytkownik: P4 Sp. z o.o. 02-677 Warszawa, ul. Wyzalek 1	Nr stacji: TYC0035_D	Skala: 1:1500
Nazwa rysunku: Rozmieszczenie pionów pomiarowych		
Nr sprawozdania: 564/2023/OS/10		
LABORATORIUM BADAWCZE SOLDI ul. Bieżanowska 22, 30-812 Kraków	Opracował: Laboratorium Badawcze Soldi	Nr rysunku: 01

## 6. Podsumowanie wyników badania

Minimalne dopuszczalne poziomy elektromagnetycznego promieniowania niejonizującego charakteryzowane przez wartości graniczne wielkości fizycznych dla miejsc dostępnych dla ludności, uwzględniające wszystkie źródła promieniowania mogące występować w obszarze pomiarowym, w zakresie pomiarowym zestawu pomiarowego, opisanego w punkcie 2 niniejszego sprawozdania, zgodnie z rozporządzeniem Ministra Zdrowia z dnia 17 grudnia 2019 r. w sprawie dopuszczalnych poziomów pól elektromagnetycznych w środowisku (Dz. U. 2019 poz. 2448), które zostały przyjęte do obliczeń wskaźników  $WM_E$  i  $WM_H$  wynoszą odpowiednio:

**Tabela nr 5**

Zakres częstotliwości	Natężenie pola - E	Natężenie pola - H
10 MHz – 300 GHz	28 V/m	0,073 A/m

Przeprowadzone badania zostały wykonane przy użyciu miernika szerokopasmowego i nie wykazały przekroczenia 70% ww. wartości dopuszczalnych. W wyniku przeprowadzonego badania potwierdzono także, że otrzymane wartości wskaźnikowe dla wszystkich punktów / pionów pomiarowych badanej instalacji radiokomunikacyjnej, nie przekroczyły wartości 1. Zatem poziomy pól elektromagnetycznych w badanych punktach są dopuszczalne.

Stwierdzenie zgodności zostało przedstawione na podstawie wyników badań oraz informacji uzyskanych od klienta (za które Laboratorium nie ponosi odpowiedzialności) dla instalacji opisanej w punkcie 4.

Stwierdzenia zgodności dokonano na podstawie zasady podejmowania decyzji i wymagań zawartych w załączniku do rozporządzenia Ministra Klimatu z dnia 17 lutego 2020 r. w sprawie sposobów sprawdzania dotrzymania dopuszczalnych poziomów pól elektromagnetycznych w środowisku (Dz. U. 2022 poz. 2630).

**Tabela nr 6**

Badanie wykonał:	Sprawozdanie sporządził:	Sprawdził:
Paweł Wawrzak	Robert Kłosek	20.12.2023 r. Wiktoria Chłapek

---

**KONIEC SPRAWOZDANIA**